

A pesar del rápido calentamiento que ha venido mostrando el océano en sus cuatro regiones de monitoreo del ENOS, tanto en superficie como en niveles subsuperficiales (figura 2), otras oscilaciones no respaldan esta condición. Durante el mes de junio se espera ese cambio de fase Neutra a fase El Niño del fenómeno ENOS, que iniciaría a partir de julio manteniéndose lo que resta del año 2023. Existe consistencia en las fuentes de pronóstico (figura 1.a y 1.b) en cuanto a la ocurrencia de la fase El Niño en el trimestre de mayo a julio. El Sistema de Alerta Temprana (SAT) del fenómeno ENOS del IMN, denominado SAT-ENOS, se declara en estado de “Advertencia de El Niño”.

En mayo del 2023, la temperatura superficial del Mar Caribe ha mostrado un incremento sostenido y exponencial en la segunda quincena, con valores positivos todo el mes; mientras el Océano Atlántico Norte presentó anomalías arriba de lo normal, figura 3. El pronóstico indica que entre julio a setiembre las anomalías de la temperatura superficial del Mar Caribe y la franja al Norte del Océano Atlántico se mantendrán más cálidas de lo normal.

Cuadro 1. Variación de los índices océano-atmosféricos para los meses de noviembre y diciembre de 2022. El ONI, el Niño3, el Niño3.4 y el HCl (contenido de calor bajo la superficie del mar) son índices de temperatura del mar del océano Pacífico (fuente: OISST.v2 y ERSSTv5). El Índice de Oscilación del Sur (IOS) es atmosférico y se calcula en el océano Pacífico. El ATN es un índice de anomalía de la temperatura del mar del océano Atlántico tropical Norte (5-20°Norte y 60-30°Oeste). Fuente: CPC-NOAA

Indicador	Abril	Mayo
ONI (°C)	0.13	0.39
Niño 3 (°C)	0.44	0.90
Niño 3.4 (°C)	0.19	0.47
Niño 1+2 (°C)	2.45	2.02
HCl (°C)	1.19	1.10
IOS	-1.00	-1.20
ATN (°C)	0.54	0.83

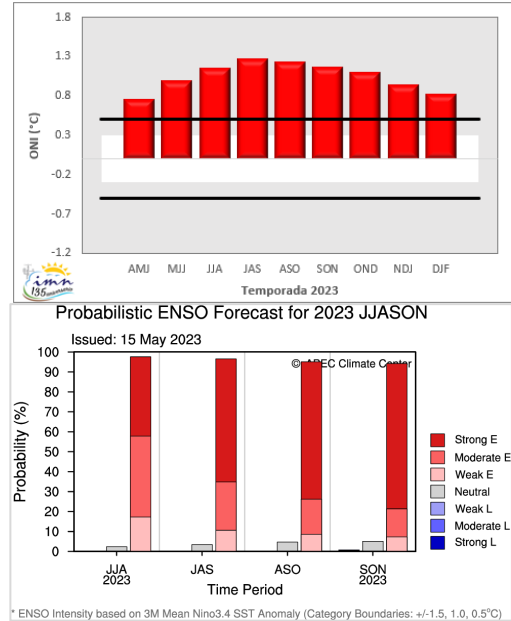


Figura 1. Pronóstico determinístico (a) del ONI y probabilístico (b) de los escenarios ENOS en su región 3.4. ONI es un promedio de modelos oceánicos y atmosféricos Fuente: IRI, CC.

EQ. Subsurface Temperature Anomalies (deg C)

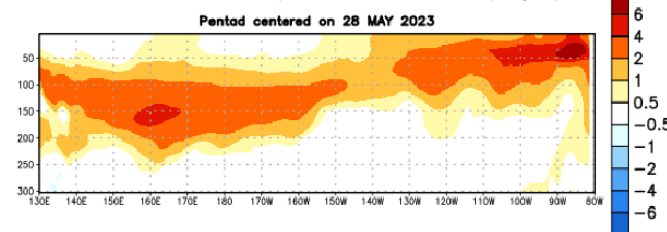


Figura 2. Anomalías de temperatura (°C) subsuperficial en el Pacífico Ecuatorial pentadal, más reciente. Fuente: NOAA.

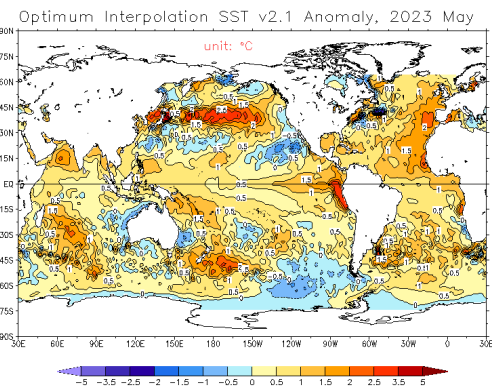


Figura 3. Anomalía observada de la temperatura del mar (°C), del último mes. Fuente: NOAA.